



Artículo

Aplicación de la precipitación de carbonatos inducida por microbios para Control de desintegración del suelo residual de granito

Xiaoyan Luo ¹, Ying Qi Feng ², Chunjun Li ¹ y Weiping Liu 2,*

- Escuela de Ingeniería Civil y Arquitectura, Universidad Normal de Ciencia y Tecnología de Jiangxi, Nanchang 330013, China; luoxiaoyan2@126.com (XL); lichunjun2001@126.com (CL)
- Escuela de Ingeniería de Infraestructura, Universidad de Nanchang, Nanchang 330031, China; sdtcfyq@163.com
- * Correspondencia: liuweiping@ncu.edu.cn

Resumen: El suelo residual de granito está ampliamente distribuido en el sureste de China. Estos suelos presentan características mecánicas como grietas ricas y sueltas y fácil desintegración, lo que provoca graves desastres de erosión del suelo en condiciones de lluvia. La precipitación de carbonatos inducida por microbios (MICP) es una alternativa ecológica para la estabilización del suelo. En este estudio se propone una nueva estrategia para el control de la desintegración de suelos residuales de granito utilizando tecnología MICP. Los efectos de la concentración de la solución bacteriana, la concentración de la solución de cementación y el ciclo de tratamiento se investigan mediante una prueba de desintegración. Los parámetros óptimos de tratamiento de suelos residuales graníticos mediante tecnología MICP se determinan mediante el análisis de los procesos de desintegración y los indicadores de calidad residual de la desintegración. Los resultados muestran que las muestras tratadas tienen tres tipos de desintegración: desintegración completa, desintegración incompleta y no desintegración. El carbonato de calcio precipitado (CaCO3) une las partículas del suelo y llena los poros. Teniendo en cuenta la efectividad y el costo y una concentración de solución bacteriana DO600 = 0,75, cinco ciclos de tratamiento MICP con una concentración de solución de cementación de 1,2 mol/L son óptimos para el control de la desintegración del suelo residual de Los efectos de la acción de cementación del CaCO3 se verifican mediante pruebas de microscopía electrónica de barrido (SEM) con un espectroscopio de rayos X de energía dispersiva (EDX). Estos hallazgos sugieren que MICP es un candidato prometedor para controlar la desintegración del suelo residual de granito.

Palabras clave: suelo residual granítico; precipitación de carbonatos inducida por microbios; desintegración; concentración de solución bacteriana: concentración de la solución de cementación: ciclo de tratamiento



Cita: Luo, X.; Feng, Y.; Li, C.; Liu,

W. Aplicación de la precipitación de carbonatos
inducida por microbios para el control
de la desintegración de suelos residuales de
granito. Aplica. Ciencia. 2024, 14, 6343. https://
doi.org/10.3390/app14146343

Editor académico: Syed Minhaj Saleem Kazmi

Recibido: 3 de mayo de 2024 Revisado: 15 de junio de 2024 Aceptado: 2 de julio de 2024 Publicado: 20 de julio de 2024



Copyright: © 2024 por los autores. Licenciatario MDPI, Basilea, Suiza.

Este artículo es un artículo de acceso abierto. distribuido bajo los términos y condiciones de los Creative Commons Licencia de atribución (CC BY) (https:// creativecommons.org/licenses/by 4.0/).

1. Introducción

El suelo residual de granito se forma mediante una serie de erosión física y química de la roca de granito madre, que se distribuye ampliamente en el sureste de China. Este tipo de suelo presenta grietas ricas y sueltas y una fácil desintegración [1–3], lo que resulta en una severa erosión del suelo en condiciones de lluvia [4–6]. Hay 239.125 sitios en Benggang que cubren un área de 1220,05 km2 [7,8], con una tasa promedio de erosión de 590.000 t/(km2 ·y) [9]. Benggang tiene las características de una alta intensidad de erosión y una extensa área de erosión [10,11]. El condado de Yudu , uno de los condados con severa erosión del suelo en la provincia de Jiangxi, China, representa el 29,17% de todo el condado debido a Benggang.

Los métodos tradicionales de protección de taludes en las áreas de Benggang se basan principalmente en medidas de planta y medidas de ingeniería, que tienen desventajas como una gran cantidad de ingeniería, construcción inconveniente, alto costo y largo tiempo [12-14]. Por lo tanto, es de gran importancia desde el punto de vista de la ingeniería encontrar una nueva estrategia de protección de pendientes que ahorre energía, sea respetuosa con el medio ambiente y fácil de construir sobre suelo residual de granito. La precipitación de carbonatos inducida por microbios (MICP) es una de las tecnologías de ingeniería geotécnica emergentes en los últimos años [15,16]. MICP tiene tres sustancias típicas involucradas en su proceso: bacterias, sustrato y fuente de calcio, que precipita cristales de carbonato alrededor de las partículas del suelo en una reacción biológica, remodelando así la estructura del suelo

Aplica. Ciencia. 2024, 14, 6343 2 de 19

sobre una bacteria productora de ureasa enriquecida en el suelo llamada Sporosarcina pasturii (ATCC 11859), utiliza urea como sustrato, cataliza la hidrólisis de la urea para + v CO3 generar NH4 a través del metabolismo y atrae Ca2+ a través de la carga negativa generada por macromoléculas como proteínas dentro de las bacterias, induciendo así la precipitación de CaCO3. No se producen sustancias tóxicas durante el proceso de unión, lo que indica que es un material de unión respetuoso con el medio ambiente [19,20]. El MICP también demuestra una gran aplicabilidad y estabilidad del aqua, lo que puede mejorar eficazmente varios tipos de suelo, como suelo orgánico [21], loess [22], arena [23], relaves de hierro [24] y desierto [25]. Las mejoras que MICP tiene en los materiales geotécnicos también dependen de los factores que influyen en varios procesos de mineralización, como las fuentes de calcio [26], la concentración de la solución bacteriana [27], la concentración de la solución de cementación [28], la proporción de la solución de cemento [29], la edad de curado [30] y el valor de pH [24]. La formación de cristales de carbonato de calcio tiene un impacto significativo en las propiedades físicas y mecánicas del suelo tratado. El suelo tratado con MICP sique siendo adecuado para el crecimiento de las plantas y su urea residual puede servir como nutriente [19]. Sin embargo, existen estudios limitados sobre la modificación MICP del suelo residual de granito en el área de Benggang para mejorar su capacidad de resistir la erosión pluvial.

Una forma importante de garantizar la prevención de la pérdida de suelo y agua en el área de erosión es mejorar la estabilidad del agua de la superficie del suelo, mejorando así su resistencia a la erosión. El suelo residual de granito de superficie poco profunda en el área de Benggang generalmente está suelto después de una erosión prolongada. Los cristales de carbonato de calcio generados por MICP pueden llenar los poros del suelo y su cementación mejora la fuerza de conexión entre las partículas del suelo [28]. Es crucial determinar los parámetros apropiados de MICP, como la concentración de la solución bacteriana y la concentración de la solución instrumental [23]. Por lo tanto, es necesario un análisis cuantitativo para la aplicación práctica de ingeniería del MICP en la prevención y control de la erosión del suelo.

La desintegración del suelo se refiere a la durabilidad del suelo cuando está en contacto con agua estancada y puede usarse para evaluar su estabilidad hídrica [31–33]. Liu y cols. [34] investigaron el comportamiento de desintegración del suelo residual de granito a lo largo de un perfil de meteorización típico de la ciudad de Xiamen en China. Sol y cols. [35] estudiaron las cantidades de desintegración y las proporciones de desintegración de muestras de suelo tratadas con cemento, cal viva y caolinita. Zhang et al. [36] revelaron que la relación de vacíos efectiva y las curvas características del agua del suelo son los principales factores de control que afectan la velocidad de desintegración. Liu y cols. [1] discutió las influencias combinadas de las fuertes lluvias y la lluvia ácida sobre las características de desintegración de los suelos residuales de granito. Sin embargo, las características de desintegración del suelo residual de granito tratado con tecnología MICP no han recibido suficiente atención. Es necesario estudiar los efectos de diversos factores de mineralización sobre los procesos de desintegración. Se deben obtener los parámetros óptimos del MICP para el control de la desintegración del suelo residual granítico.

En este artículo, se utiliza el método MICP para prevenir la desintegración del suelo residual de granito. Se lleva a cabo una serie de experimentos de desintegración considerando diferentes concentraciones de solución bacteriana, soluciones de cementación y ciclos de tratamiento de concentración para determinar los parámetros óptimos del método MICP. El mecanismo de influencia de MICP en la desintegración del suelo residual de granito se revela a partir de características microestructurales. En el futuro se investigará la capacidad de resistir la erosión provocada por fuertes lluvias. Este estudio preparará para la aplicación de la tecnología MICP en el control de la erosión de Benggang.

2 Materiales

2.1. Condiciones de muestreo

El suelo residual de granito se recogió de un área de erosión de Benggang a una profundidad de 0,5 m, ubicada en la ciudad de Gongjiang (25° 59′24″ N, 115° 26′32″ E), condado de Yudu, Jiangxi. Provincia, en el sur de China. La densidad seca natural es 1,50 g/cm3 , la humedad límite líquida es 39,3%, la humedad límite plástica es 27,5%, el coeficiente de permeabilidad es 9,7 ×10-7 cm/s y la gravedad específica es 2,56. Se muestra la curva de distribución del tamaño de grano.

ApliequilGentGenate 24024, 6448343 3 de 28 de 19

en. le a sucompositiones originas de la compuestas grantinas (26, gliss) por compuestas grantinas (28, pp. 10) u dez ou (62, d. 16, gliss) por (18, gliss) (26, gliss) por (19, gliss) y goethita (2,2%) [10].

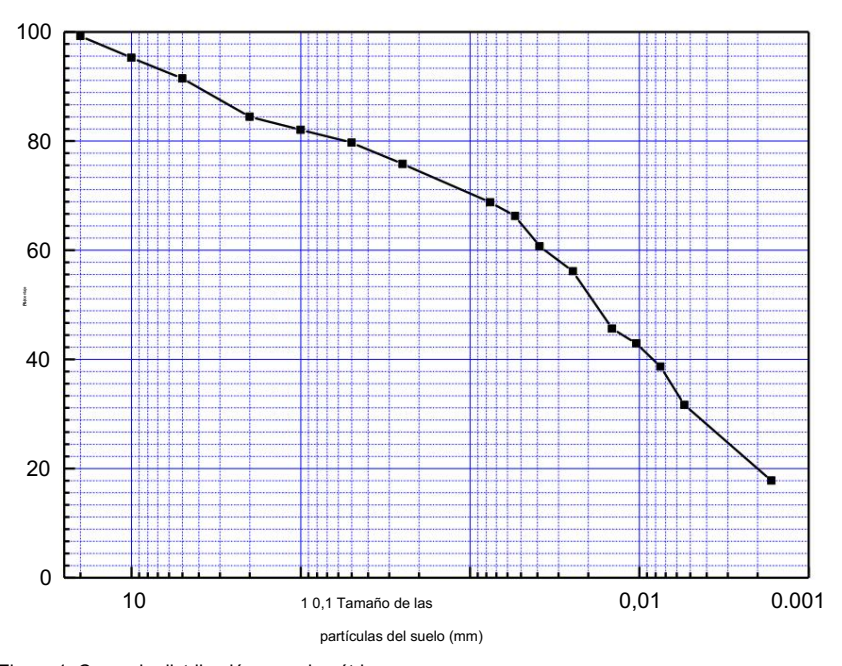


Figura 1. Curva de distribución granulométrica. Figura 1. Curva de distribución granulométrica.

2.2. Solución bacteriana y solución de comentación.

Este se tudio ta sadosta com o particina (nasteria (1859) control de de ureasa. El cultivo bacteriano debido a su seguridad (no saventa ple tras estantes la sabeto prenditiva per la sabeto per la superficia de la solidificación. (c) Sabolica per la su

La densidad inicial (OD600) del cultivo de bacterias recolectadas es 1.5. Diferentes bacterias La densidad inicial (OD600) del cultivo de bacterias recolectadas es 1.5. Se pueden obtener diferentes concentraciones de solución bacteriana añadiendo solución salina fisiológica (0.9% de sodip). Las concentraciones de la solución se pueden obtener anadiendo solución salina fisiológica (solución de cloruro de sodio). Los valores de D0600 de la solución bacteriana son 0.25, 0.50, 0.75 y 1.0. El solución de cloruro). Los valores de D0600 de la solución bacteriana son 0.25, 0.50, 0.75 y 1.0. La solución bacteriana. El solución bacteriana de cantracería en viales de centrífuga a 4 °C.

La solución de cementarión utilizada en los se estudio consta de 1-0 mol/L, de viria equimolar. con de 0,4 mol/L, de comentación de 0,4 mol/L, de viria en la solución de comentación de 0,4 mol/L, de viria de vi

3. Métades

3.1. Aparato de desintegración 3.1. Aparato de desintegración

Como se muestra en la Figura 2, la prueba de desintegración se lleva a cabo usando un aparato de desintegración necho en casa. Como se muestra en la Figura 2, la prueba de desintegración se lleva a cabo usando un aparato de desintegración hecho en casa. Este aparato de desintegración consta de cuatro partes: la estructura de soporte, aparato de ración. Este aparato de desintegración consta de cuatro partes: el marco de soporte, el dispositivo de soporte, el dispositivo de regadero, el dispositivo de regadero, el dispositivo de regadero, el dispositivo de regadero, el dispositivo de soporte y el dispositivo de pesaje. El marco de soporte es un marco desince de rubbica de de describilidades de la compositivo de la compositiv

Aplica, Ciencia, 2024, 14, 6343 4 de 19

cm ×50 cm. El dispositivo de fregadero incluye una caja de agua termostática y una pequeña caja de vidrio en su interior con tamaños de 40 cm ×40 cm ×25 cm y 30 cm ×30 cm ×25 cm, respectivamente. La prueba de desintegración se realiza en un ambiente de agua estática y a temperatura constante. La prueba se lleva a cabo el lun ambiente de agua estática y a temperatura constante. La prueba se lleva a cabo el lun ambiente de agua estática y a temperatura del soporte el tamaño de apertura de la malla metalica utilizada para utilizado para soportar las muestras de suelo es de 0.9 cm. .9

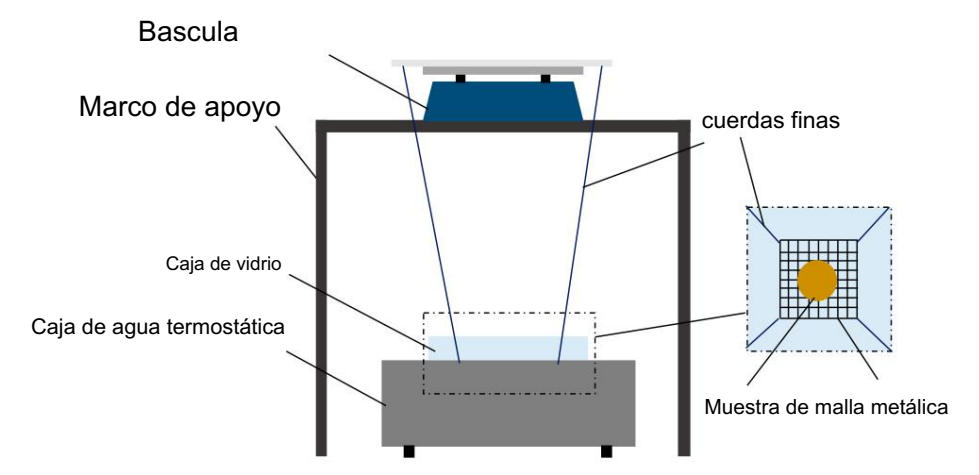


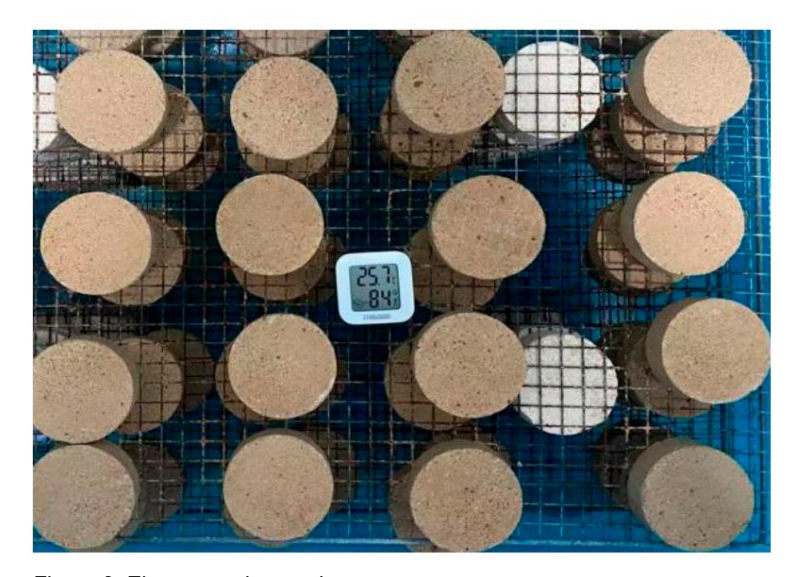
Figura 2. Diagrama esquemático del dispositivo experimental. Figura 2. Diagrama esquemático del dispositivo experimental.

3.2. 2. recedimiento de prueba de desintegración

3.2.2.1Preparación della espestmen

El El seuera passer por i circia miz de a ram e le regos se i intere a recina destruta para secar a 105 ° C. El contenido de humedad inicial se controla en rua valor del 5 % Las rues sistes de reconsistencia del nues recipio de está seco. de sidad de 15, g/gm3-1-1, municipa remode de da se cologa en rua da capa de se controla en rua distribución uniforme del agua. Se adopta el método de esterilización como tratamiento MicP durante el a para grantizar una distribución uniforme del agua. Se adopta el método de esterilización como tratamiento de 10 ml en la superficie de las muestras. El proceso de pulverización incluye dos pasos. En primer lugar, tratamiento de 10 ml en la superficie de las muestras. El proceso de pulverización incluye dos pasos. En primer lugar, tratamiento de 10 ml en la superficie de las muestras. El proceso de pulverización incluye dos pasos. En primer lugar, tratamiento de 10 ml en la superficie de las muestras. El proceso de pulverización incluye dos pasos. En primer lugar, 10 ml. Se rocia uniformemente una cantidad de solución bacteriana sobre la superficie de la muestra. Luego, las muestras se rocian uniformemente con una solución bacteriana sobre la superficie de la muestra. Luego, las muestras se rocian uniformemente con una solución bacteriana sobre la superficie de la muestra. Luego, las muestras son curado en la caja de temperatura y humedad constantes (temperatura ambiente de 25 ° C ± 2 ° C, curado en la caja de temperatura y humedad constantes (temperatura ambiente de 25 ° C ± 2 ° C, se rocian minde solución de cementación sobre la misma superficie. Luego, se pulverizan las muestras sobre la misma superficie de la muestra segundo lugar, 10 ml. misma superficie de la superficie de la final de la constante de la cons





FFGHr333EFbBCEESOGECH1860.

3.2.2. Procesos de prueba

La prueba de desintegración se realiza a una temperatura del agua de 25 °C. La muestra se coloca sobre la malla metálica. Durante la prueba, las muestras se dejan caer al agua. El peso se registra según un intervalo de tiempo de 5 s. Mientras tanto, la desintegración

Aplica. Ciencia. 2024, 14, 6343 5 de 19

3.2.2. Procesos de prueba

La prueba de desintegración se realiza a una temperatura del agua de 25 ° C. La muestra es colocado sobre la malla metálica. Durante la prueba, las muestras se dejan caer al agua. El El peso se registra según el intervalo de tiempo de 5 s. Mientras tanto, la cámara registra la morfología de desintegración de la muestra. Cuando la muestra se desintegra por completo o la lectura de la balanza cambia menos de 1 g en 10 minutos, la prueba finaliza.

3.3. Esquema experimental

Tres factores, incluida la concentración de la solución bacteriana, la solución de cementación la concentración y el ciclo de tratamiento se configuran en el esquema experimental. El Se utiliza agua desionizada en lugar de bacterias y cementación para rociar la muestra para el grupo de contraste sin tratamiento (E1 ~ E4). Se analizan los procesos de desintegración para obtener el parámetro óptimo. Los esquemas experimentales se muestran en la Tabla 1.

Tabla 1. Esquemas experimentales.

Numero de muestra	Solución bacteriana Concentración (OD600)	Solución de cementación Concentración (mol/L)	Ciclo de tratamiento
A1~A4	0,25	0,4, 0,8, 1,2, 1,6	1
A5~A8	0,5	0,4, 0,8, 1,2, 1,6	1
A9~A12	0,75	0,4, 0,8, 1,2, 1,6	1
A13~A16	1.0	0,4, 0,8, 1,2, 1,6	1
B1~B4	0,25	0,4, 0,8, 1,2, 1,6	3
B5~B8	0,5	0,4, 0,8, 1,2, 1,6	3
B9~B12	0,75	0,4, 0,8, 1,2, 1,6	3
B13~B16	1.0	0,4, 0,8, 1,2, 1,6	3
C1~C4	0,25	0,4, 0,8, 1,2, 1,6	5
C5~C8	0,5	0,4, 0,8, 1,2, 1,6	5
C9~C12	0,75	0,4, 0,8, 1,2, 1,6	5
C13~C16	1.0	0,4, 0,8, 1,2, 1,6	5
D1~D4	0,25	0,4, 0,8, 1,2, 1,6	7
D5~D8	0,5	0,4, 0,8, 1,2, 1,6	7
D9~D12	0,75	0,4, 0,8, 1,2, 1,6	7
D13~D16	1.0	0,4, 0,8, 1,2, 1,6	7
E1~E4	0	0	1, 3, 5, 7

4. Resultados y discusión

4.1. Procesos de desintegración

Las características morfológicas de la muestra de suelo E3 sin tratamiento MICP se muestran en Figura 4. Cuando la muestra de suelo se sumerge en agua, aparecen numerosas burbujas en la superficie de la muestra de suelo, como se muestra en la Figura 4a. En esta etapa, la desintegración del suelo. La tasa es menor que la tasa de absorción de agua, lo que resulta en un aumento continuo en la lectura de balanza. Debido a la continua absorción de agua, la muestra de suelo se va satura. Posteriormente, se produce una desintegración violenta y aparecen grietas en la superficie de la muestra de suelo, como se muestra en la Figura 4b. La muestra colapsa desde el lado hacia el centro. Se generan grandes burbujas y el agua se vuelve turbia. En t = 300 s, el suelo casi cayó completamente al fondo de la caja (desintegración completa). El agua entra en los poros. entre las partículas del suelo, lo que lleva a un aumento en el contenido de humedad del suelo y una disminución en

Disminuyendo la tasa de absorción de agua, lo que resulta en un aumento continuo en la lectura del Machine Translated by Google rendimiento. Debido a la continua absorción de agua, la muestra de suelo se satura gradualmente. Posteriormente, se produce una desintegración violenta y aparecen grietas en la superficie de la muestra de suelo, como se muestra en la Figura 4b. La muestra colapsa desde el lado hacia el centro. Se generan grandes burbujas y el agua se vuelve turbia. En t = 300 s, el suelo cayó casi por completo al fondo de la caja (desintegración completa). El agua ingresa a los poros entre las partículas del suelo, lo que provoca un aumento en el contenido de humedad del suelo y una disminución de la succión, lo que finalmente conduce a la dissitting la cióm duce protestes integración recessor describing la ción processor de describing la ción duce protestes integración que, en última Processes abls soció ón decaquia a essape y desintegrazió ón en tres



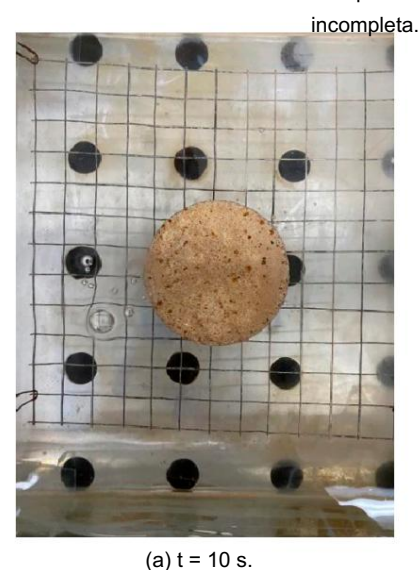




Figura 44. Proceso de desintegración sintratamiento desintegración completa).

La Fejurar 5 finastrated et comesses de desides inteción citén suella tuelta doctant de controlecíación (SER) Petrefechte dal ceferreto taleióen y enettemión de debecristate essor istartes nateccaleboralato slebral das quantís quantís cupas fisciples sicial essuetal, sedelo, p Elicerso cres designades intéres intéres de directes de la contraction de la contr simureatra astinata as l'Ensetra ta de sie Eintierra pion de des integracións de no contras ide sue la tacon cun eiclo de c Shistalan she tha an teonal dead on the transfer of the tran a had a service ration residuo se et a entropi de de service de la company de la comp formalista n de forma e ajón de numa crapa e der efyera rendal sucerfícies palés une putanam de numa crapa e em la la ntætamigetmanuzærentavalhe harvungtreupersonezee ælstiværegte, compoletademnuss de absorber agua, ablehubn de inflexións desella desenguas de la contrata del contrata de la contrata de la contrata del contrata de la contrata del contrata de la contrata del contrata de la contrata del co disarralidad de danverstra de es elegatismirente pero la velocidad es relativamente lenta. Cuando la masa residual cdiamio uy na asprexima damente. A qui la devertre por manece estacionaria co esta a malla de el ambre y va no mandaeinterine Compos envestre da le Siguis Sudestide du la ferda de comprotarión de la fuerrentación de lafebbaldeneriienles, tels punkcenas der steme de unidadularina en entre ulta des i des i des menida incerceión

Aplica. Ciencia. 2024, 14, 6343





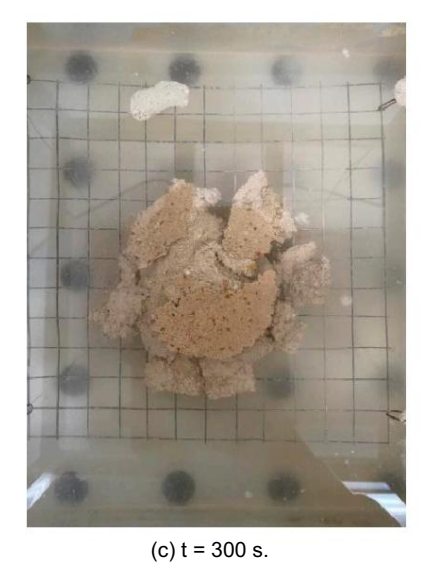


Figura 5. Proceso de desintegración de desintegración incompleta.

La muestra de suelo D11 no presenta procesos de desintegración tradicionales en 300 s. Después de que el agua ingresa a la muestra de suelo, solo ocurre un lento proceso de absorción de agua. Esto se debe a que la capa de refuerzo de la superficie de la muestra de suelo puede envolver completamente toda la muestra de suelo para evitar la desintegración después de múltiples ciclos de tratamiento MICP. Las capas en forma de corteza cubren las partículas del suelo, lo que tiene un impacto significativo en la interacción entre las partículas y reduce la erosión [37]. Sin embargo, el agua todavía puede infiltrarse lentamente, provocando un aumento de la

Figura 5. Proceso de desintegración de desintegración incompleta.

7 de 19

La muestra de suelo D11 no presenta procesos de desintegración tradicionales en 300 s. Después de que la El agua ingestra alternelestrá tiers belos tentidocorros escribedos presidentes de identificación del especial de proceso de predicto de su el proceso de proceso de predicto de su el proceso de predicto de proceso de proceso de predicto de proceso de proceso de predicto de proceso de proces







Figura 66. Proceso de desintegración de la no desintegración.

4.42E Edector de da concentración de da solución bacteriana a obterda desirte gración

Las curvas de desintegración con tres ciclos de tratamiento se muestran en la Figura 8. Todas las muestras son del tipo de desintegración incompleta. Para concentraciones de solución de cementación de 0,4, 0,8 y 1,2, la masa residual de desintegración es la más alta cuando la solución bacteriana La concentración es 0,75. Al mismo tiempo, cabe señalar que el impacto de la bacteria La concentración de la solución varía según diferentes concentraciones de la solución de cementación. Cuando la concentración de la solución de cementación es 0,4, los efectos de refuerzo afectados por la

La concentración de la solución bacteriana es 0,75 > 0,5 > 1,0 > 0,25. Cuando la solución de cementación Las concentraciones son 0,8 y 1,2, respectivamente, los efectos de refuerzo de la solución bacteriana. La concentración es 0,75 > 1,0 > 0,5 > 0,25. Cuando la concentración de la solución de cementación es 1.6, el efecto de refuerzo es más significativo debido al aumento de la solución bacteriana concentración. Sin embargo, la diferencia en el efecto refuerzo entre 0,75 y 1,0

no es significativo. Esto indica que la concentración de la solución bacteriana de 0,75 es más Adecuado para formar una capa de cierto espesor para reforzar las muestras de suelo.

Aplica. Ciencia. 2024, 14, 6343

8 de 19

por tanto no crea una mejora significativa.

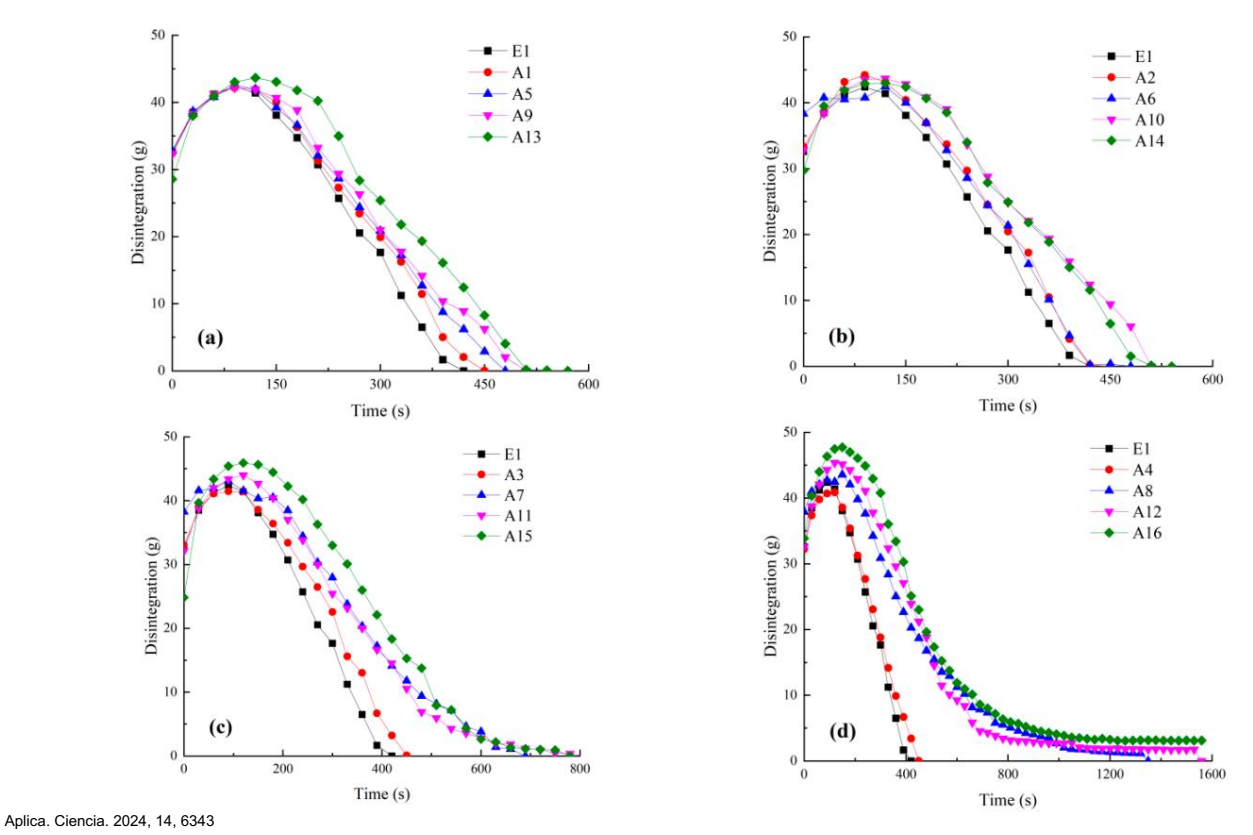


Figura 7. Curva de desintegración con un ciclo de tratamiento de diferentes concentraciones de solución bacteriana Figura 7. Curva de desintegración con un ciclo de tratamiento de diferentes concentraciones de solución bacteriana: ciones: (a) 0,4, (b) 0,8, (c) 1,2 y (d) 1,6. (a) 0,4, (b) 0,8, (c) 1,2 y (d) 1,6.

9 de 20

Las curvas de desintegración con tres ciclos de tratamiento se muestran en la Figura 8. Todas las muestras son del tipo de desintegración incompleta. Para las concentraciones de la solución de 0.4, 0.5 y ll.2, la masa residual de desintegración es mayor cuando la concentración de la solución bacteriana de 0.75. Al mismo tiempo, cabe señalar que el impacto de la sencentración de la solución bacteriana varía según las diferentes concentraciones de la solución de cementación de la solución de cementación es 0.4, los efectos de refuerzo afestados por la oncentración de la solución de cementación es 0.75 > 0.5

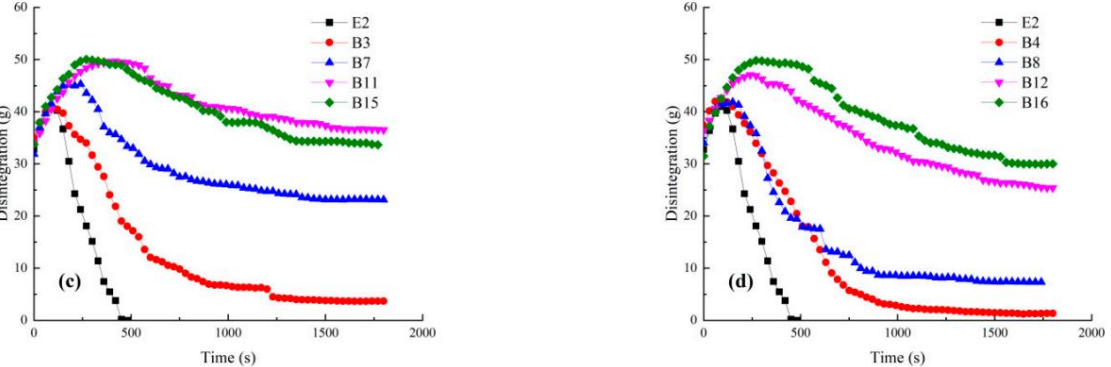
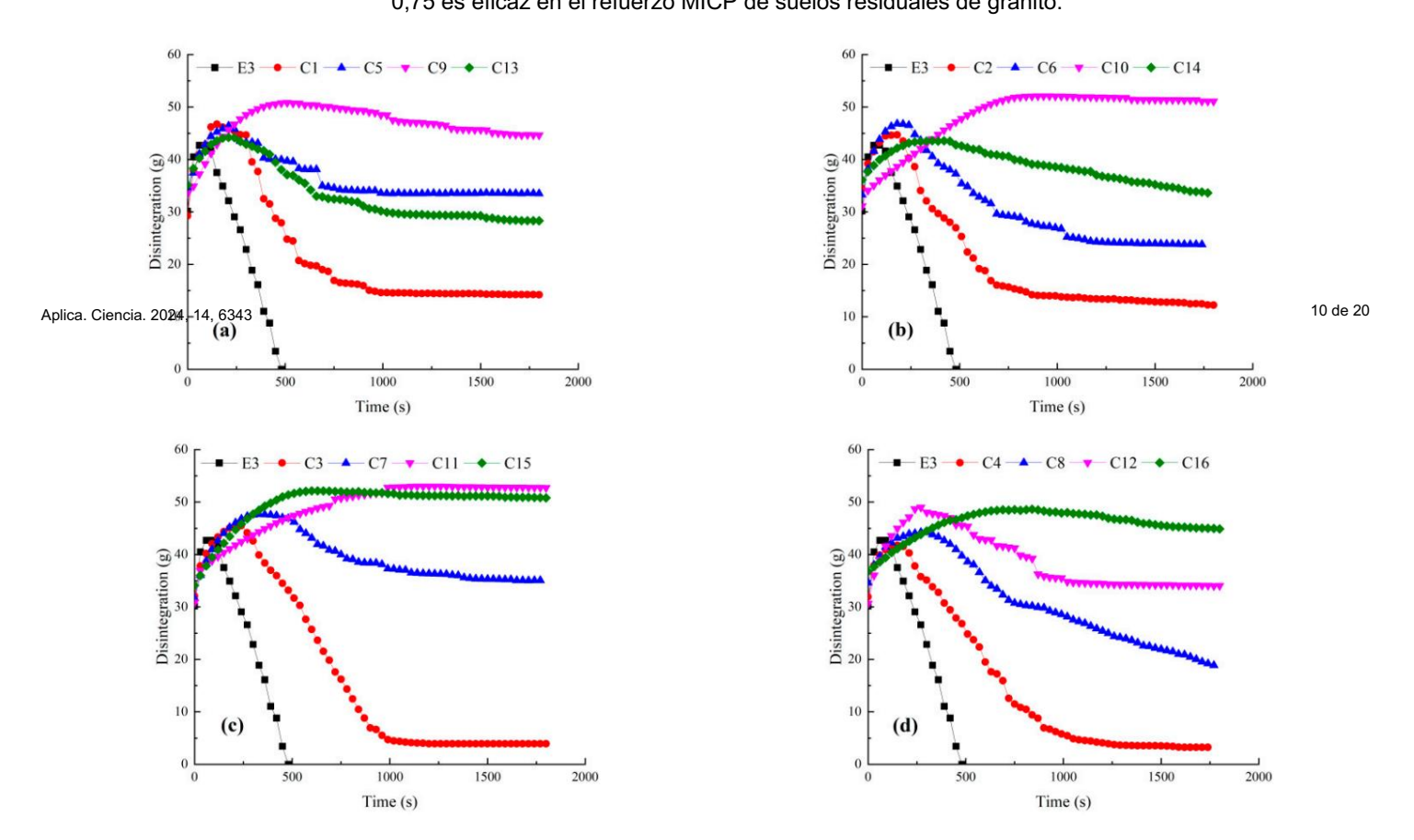


Figure Racion regular desintegrais for sont retarrience de réferent accommende de réferent accommende de solución descriptor; z (z) z) z0 (z) z0 (z) z0 (z0) z0 (

Debido al corto tiempo de tratamiento, la reacción MICP no se lleva a cabo completamente en un ciclo de tratamiento. A una concentración de solución de cementación más baja, cuando la concentración de la solución bacteriana es superior a 0,5, la reacción se puede llevar a cabo por completo. Esto conducirá a una reacción rápida. Si la concentración de la solución bacteriana es demasiado alta, se produce una gran cantidad de cristales de carbonato de calcio para llenar los minerales de la superficie del suelo. La capa de refuerzo solo queda en la superficie, lo que la hace

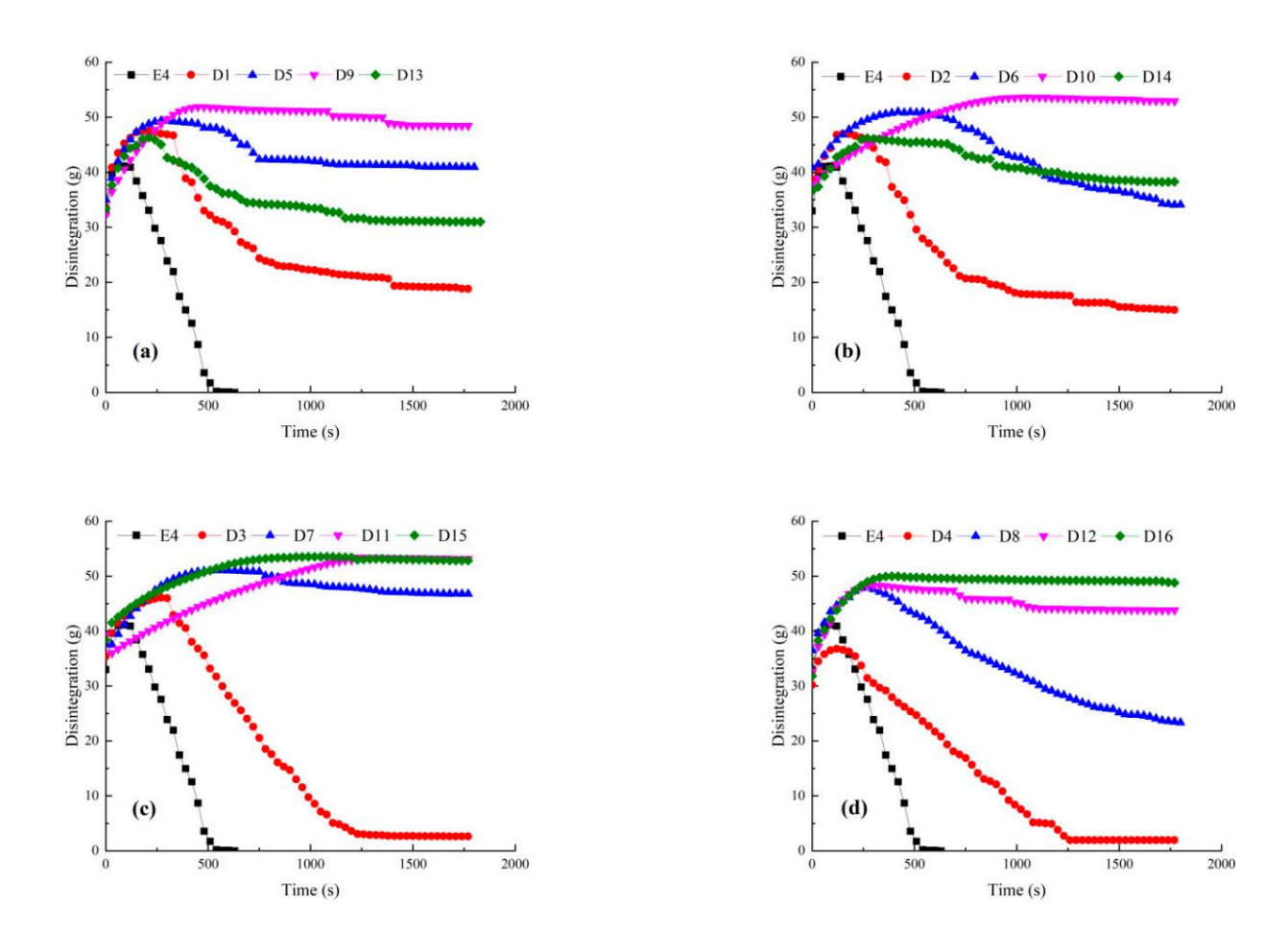
Aplica. Ciencia. 2024, 14, 6343 9 de 19

Debido al corto tiempo de tratamiento, la reacción MICP no se lleva a cabo completamente en un ciclo. tratamiento. A una concentración más baja de la solución de cementación, cuando la solución bacteriana La concentración es superior a 0,5, la reacción se puede llevar a cabo por completo. Esto conducirá a una reacción rápida. Si la concentración de la solución bacteriana es demasiado alta, una gran cantidad de Se producen cristales de carbonato de calcio para llenar los poros de la superficie del suelo. el refuerzo La capa solo permanece en la superficie, lo que dificulta que las bacterias y el cemento continúen. infiltrarse. Las curvas de desintegración con cinco y siete ciclos de tratamiento se muestran en Figuras 9 y 10, respectivamente. Algunas muestras presentan fenómenos de no desintegración después Figuiste 8: ¡Que vas tratagementación con tres ciclos de tratamiento de diferentes soluciones de cementación con cinco y centracio Elestraco (Ada) 20.60 (Watalogio finale la solución bacteriana en las muestras tratadas varía según a diferentes ciclos de tratamiento. Después de múltiples ciclos de tratamiento, el efecto del MICP la reabition de primation non de tratamiente, la ceasción MIS concentilevan control concentilevan control concentilevan control concentilevan control concentilevan control co mentav A una concentración de solución de cerrentación coán baio esando la concentración da da polyción parteciana es condiciona. Una concentración de solución bacteriana más baja es adecuada para concentraciones más bajas. La capreer resocial de regues de la reguestra de 4×1.2 . parallementamente relation and the compart of the c diffril gua las hasteriasov el rementos jan infiltrándosa i Guryas de desintegración con cinco y 1,6, la solución bacteriana En las Figuras 9 y 10, respectivamente, se muestran siete ciclos de tratamiento. Algunas muestras no presentan comparación con la solución bacteriana de 0,75. Por lo tanto, se puede concluir que, teniendo en cuenta fenómenos de integración después de cinco y siete ciclos de tratamiento. Teniendo en cuenta el efecto del tratamiento y los beneficios económicos, la concentración de la solución bacteriana de 0,75 es eficaz en el refuerzo MICP de suelos residuales de granito.



s Figura 9 Curva de desintegración (60 p, sinco ciclos (de tratamiento de diferentes concentraciones de traciones: (a) 0,4, (b) 0,8, (c) 1,2 y (d) 1,6.

Figura 9. Curva de desintegración con cinco ciclos de tratamiento de diferentes concentraciones de solución de cementación: (a) 0,4, (b) 0,8, (c) 1,2 y (d) 1,6.



ce Figura 10 n Curyar de desintegración con siete ciclos de tratamiento de differentes consentraciones de solución con contraction de (4) ((4)) (4)

4.3. Efecto de la concentración de la solución de cementación sobre la desintegración

El efecto de la concentración de la solución bacteriana en las muestras tratadas varía según los diferentes ciclos de tratamiento. Después de múltiples ciclos de tratamiento, el efecto de la integración MICP, las curvas de desintegración bajo diferentes concentraciones de solución de cementación

La gracción es limitada. Se presenta una combinación adecuada de la concentración de la solución bacteriana y reacción de la solución bacteriana determinada.

La gracantración de la solución de rementación gunde lograf, y a puen a fuer para funcione de consciención de solución de solución bacteriana más baja es adecuada para concentración de solución bacteriana más baja es adecuada para concentraciones más bajas de crátamiento, nay una mejora limitada en la resistencia a la desintegración.

comentaciones de comentación de la solución de cementación es alcanzable

 \leq 1,2, lacentusión bastariaga mán adacuarda a productiva de solución bastariaga mán adacuarda con considera de solución bastariaga mán adacuarda con considera de solución bastariaga de solución d

desintegración incompleta. Cuando la solución bacteriana

La concentración es 0,25, el refuerzo de la concentración de la solución de concentración es

0.4 > 0.8 > 1.2 > 1.6. Cuando la concentración de la solución bacteriana es 0.5, el refuerzo

de la concentración de la solución es 1,2 ≈ 0,4 > 0,8 > 1,6. cuando la bacteria

La concentración de la solución es 0,75, el refuerzo de la concentración de la solución.

es $1,2 \approx 0,8 > 0,4 > 1,6$. Cuando la concentración de la solución bacteriana es 1,0, el refuerzo

de la concentración de la solución es 1,2 > 1,6 > 0,8 > 0,4. Esto también indica que

la concentración de la solución de cementación debe combinarse con la solución bacteriana concentración para lograr un buen efecto de tratamiento. A concentraciones más bajas de solución bacteriana, Los iones contenidos en la solución cementosa de alta concentración inhiben significativamente la actividad de ureasa en la solución bacteriana [38]. Bajo esta circunstancia, la reacción MICP La velocidad disminuye y, por lo tanto, los productos finales de la reacción disminuyen.

Durante la integración, las curvas de desintegración bajo diferentes concentraciones de solución de cementación de 0,4, 0,8, 1,2 y 1,6 mol/L se presentan para una concentración de solución bacteriana determinada. La curva de desintegración con un ciclo de tratamiento se muestra en la Figura 11. Cuando se lleva a cabo un ciclo de tratamiento, hay una mejora limitada en la capacidad de resistencia a la desintegración utilizando la tecnología MICP y la muestra se desintegra por completo.

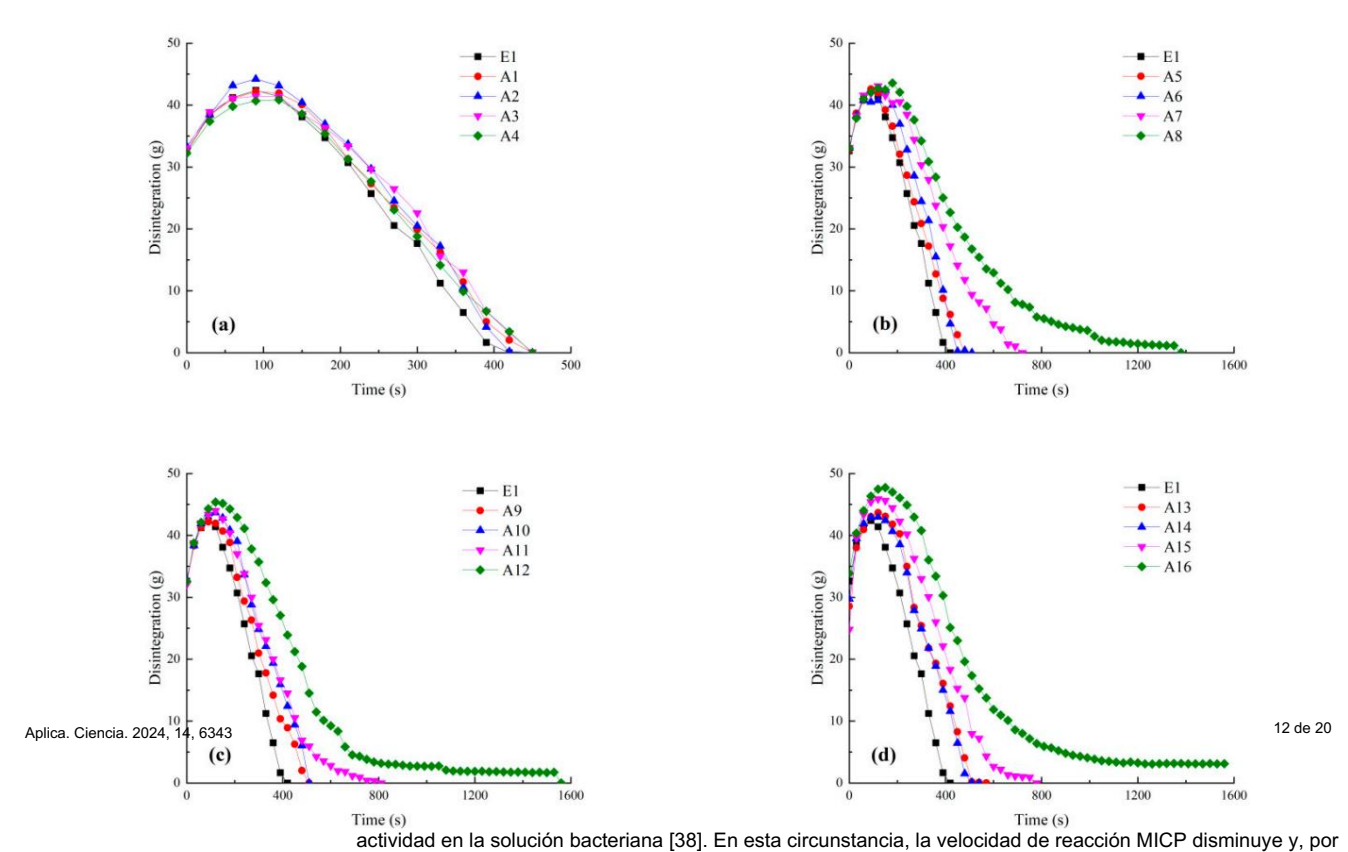


Figure distribute a long transfer of a 10,25, (b) 0,5, (c) de tratamiento de diferentes concentraciones de traciones: (a) 0,25, (b) 0,5, (c) 0,75 y (d) 1,0.

En la Figura 12 se presentan las curvas de des integración bajo diferentes concentraciones de solución de cementación y tres ciclos de tratamiento para una concentración de solución bacteriana es 0,25, el refuerzo de la concentración de la solución es 0,4 > 0,8 > 1,2 > 1,6. Cuando la concentración de la solución bacteriana es 0,5, el refuerzo de la concentración de la solución de concentración de la solución bacteriana es 0,5, el refuerzo de la concentración de la solución de concentración de la solución bacteriana es 0,75, el refuerzo de la concentración de la solución bacteriana es 0,75, el refuerzo de la concentración de la solución bacteriana es 0,75, el refuerzo de la concentración de la solución de concentración de la solución bacteriana es 1,0, el refuerzo de la concentración de la solución de concentración de l

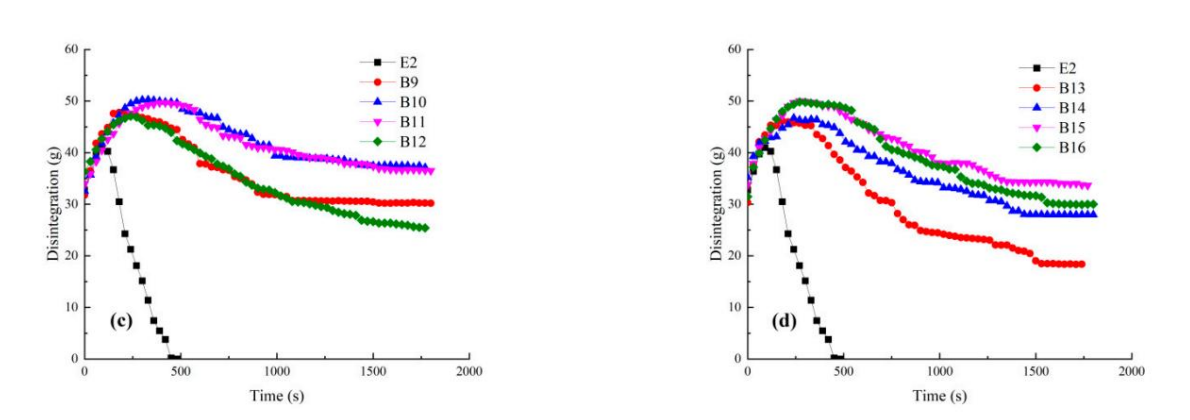


Figura 12. Curva de designações (de tratamiento de diferentes concentraciones de ciones: (a) 0,25, (b) 0,5, (c) 0,75 y (d) 1,0.

Después de cinco ciclos de tratamiento MICP, se genera una gran cantidad de cristales de CaCO3. Las curvas de desintegración de la concentración de la solución cementante con cinco y siete ciclos de tratamiento se presentan en las Figuras 13 y 14, respectivamente. Sin embargo, cuando la concentración de la solución bacteriana es 0,25, el efecto de unión general es deficiente, lo que es significativamente diferente de cuando la concentración de la solución bacteriana es superior a 0,5.

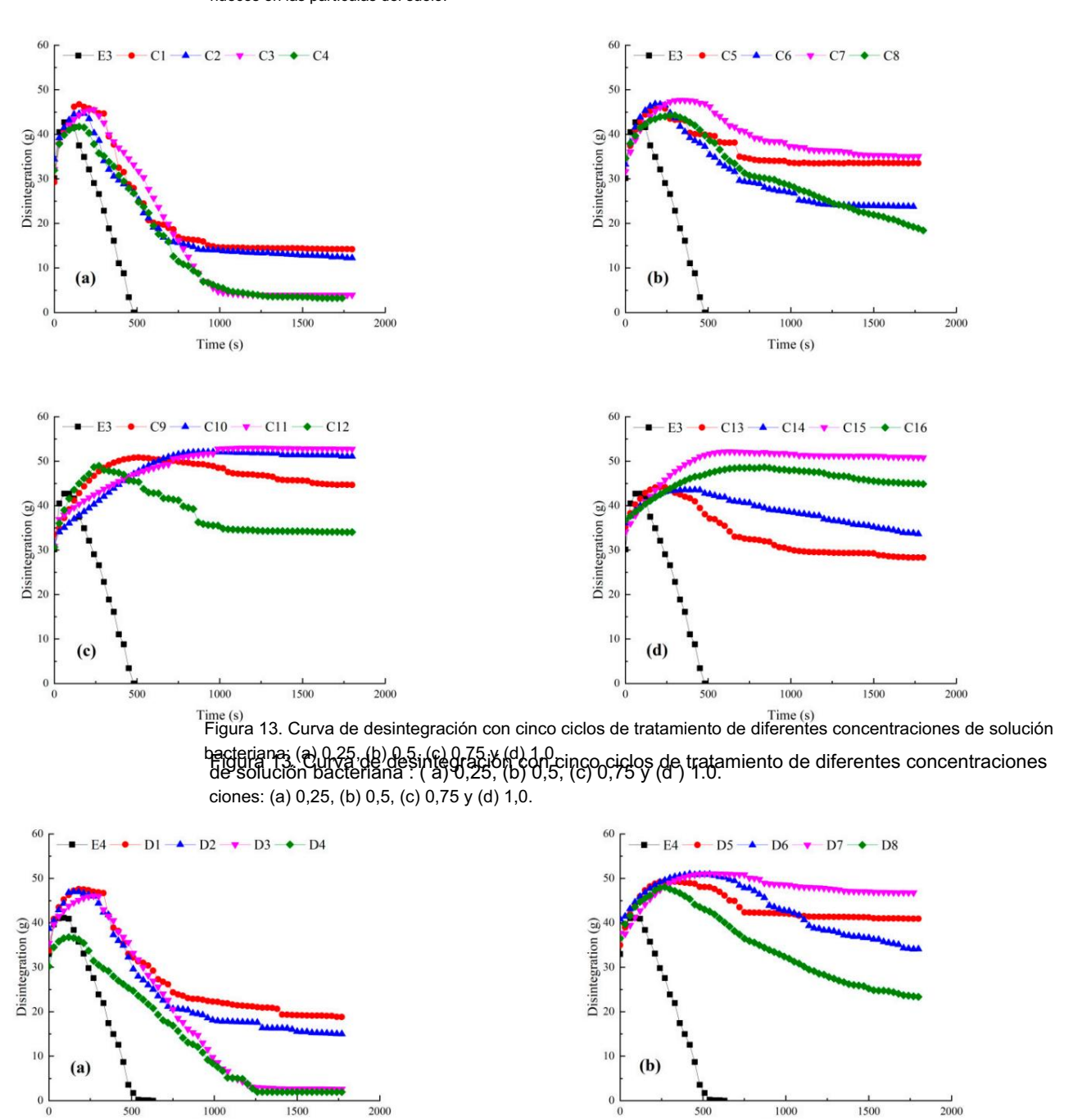
Después de cinco ciclos de tratamiento MICP, se genera una gran cantidad de cristales de CaCO3. Las curvas de desintegración de la concentración de la solución de cementación con cinco y siete Los ciclos de tratamiento se presentan en las Figuras 13 y 14, respectivamente. Sin embargo, cuando la concentración de la solución bacteriana es 0,25, el efecto de unión general es pobre, lo que es significativamente menor. diferente de cuando la concentración de la solución bacteriana es superior a 0,5. Por lo tanto, Al considerar la concentración óptima de la solución de instrumentación, solo se considerará el caso ên del que se considera la concentración de solución bacteriana ≥0,5. La solución de cementación óptima

6343 concentración 13 de 20 tiene un valor de 1,2 cuando la concentración de la solución bacteriana es ≥0,5. Después

Aplica. Ciencia. 2024, 14, 6343

Aplica. Ciencia. 2024, 14, 6343

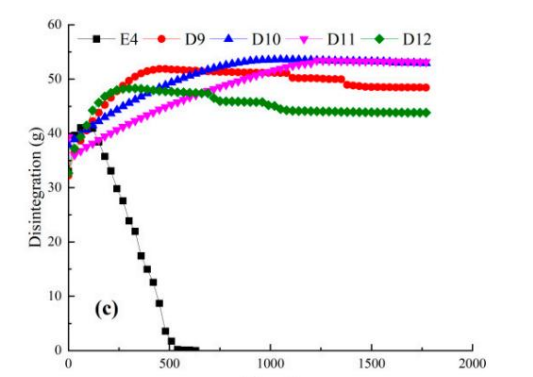
tratamiento, una gran cantidad de CaCO3 se une a las partículas circundantes y llena el huecos en las partículas del suelo.

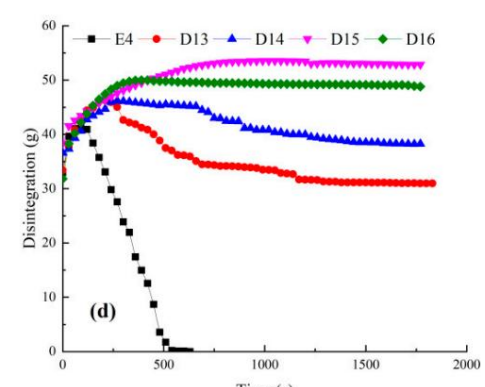


Time (s)

Figura 14. Continuación.

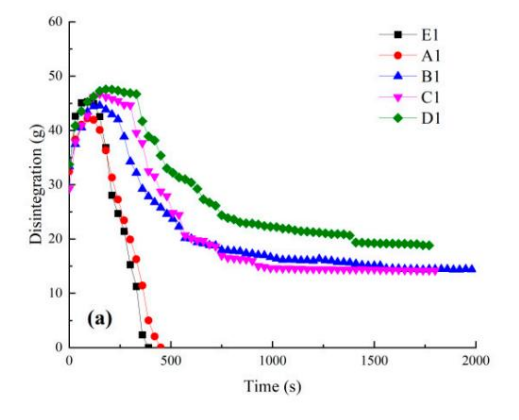
Aplica. Ciencia. 2024, 14, 6343

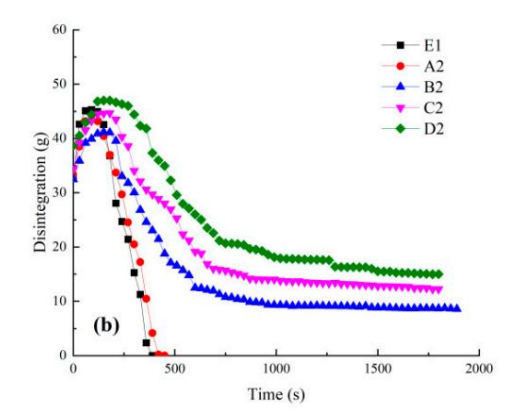


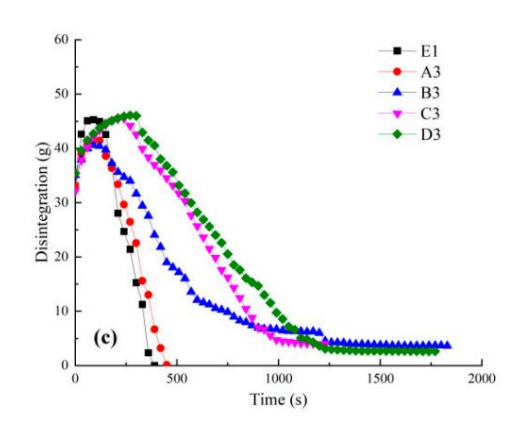


Time (s)
Figura 14. Curva de desintegración con siete ciclos de tratamiento de diferentes concentraciones de solución bacteriana: (a) 0.25 (b) 0.5 (c) 0.75 (d) 1.0 s de tratamiento de diferentes concentraciones de solución bacteriana : (a) 0.25 (b) 0.5 (c) 0.75 y (d) 1.0 s de tratamiento de diferentes concentraciones de solución bacteriana : (a) 0.25 (b) 0.5 (c) 0.75 y (d) 1.0 s de tratamiento de diferentes concentraciones de solución bacteriana : (a) 0.25 (d) 1.0 s de tratamiento de diferentes concentraciones de solución bacteriana : (a) 0.25 (d) 1.0 s de tratamiento de diferentes concentraciones de solución bacteriana : (a) 0.25 (d) 1.0 s de tratamiento de diferentes concentraciones de solución bacteriana : (a) 0.25 (d) 1.0 s de tratamiento de diferentes concentraciones de solución bacteriana : (a) 0.25 (d) 0.5 (d) 0.5 (d) 1.0 s de tratamiento de diferentes concentraciones de solución bacteriana : (a) 0.25 (d) 0.5 (d)

4.4. Efecto del ciclo de tratamiento sobre la desintegración Para analizar de tratamiento sobre la desintegración Para analizar desintegración de tratamiento sobre la desintegración Para analizar desintegración de desintegración Para analizar desintegración para analizar de solución de comenciación de solución de solución de comenciación de solución de solución de comenciación (CS), dedas se puede la comenciación de solución de solución de comenciación (CS), dedas se puede la comenciación de solución de comenciación (CS), dedas se puede la comenciación de solución de comenciación (CS), dedas se puede la comenciación de solución de comenciación (CS), dedas se puede la comenciación de solución de comenciación de solución de comenciación de solución de comenciación de solución de solución de solución de solución de comenciación de solución d







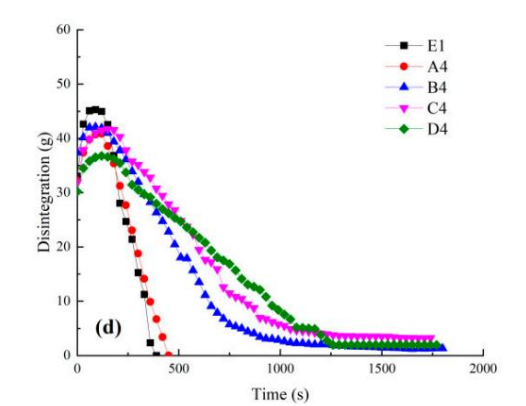


Figura 15. Continuación



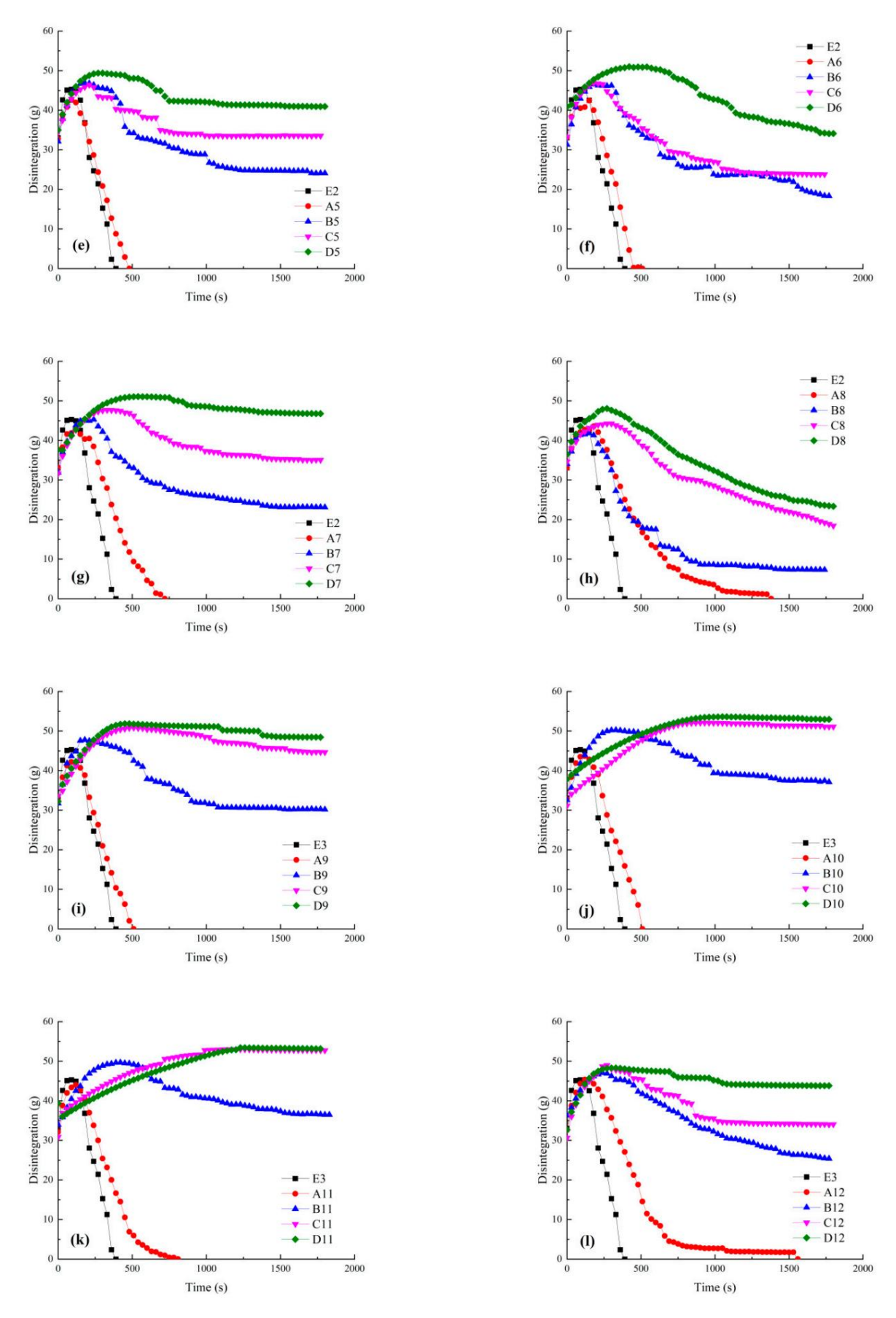


Figura 15. Continuación.

Aplica. Ciencia. 2024, 14, 6343 15 de 19

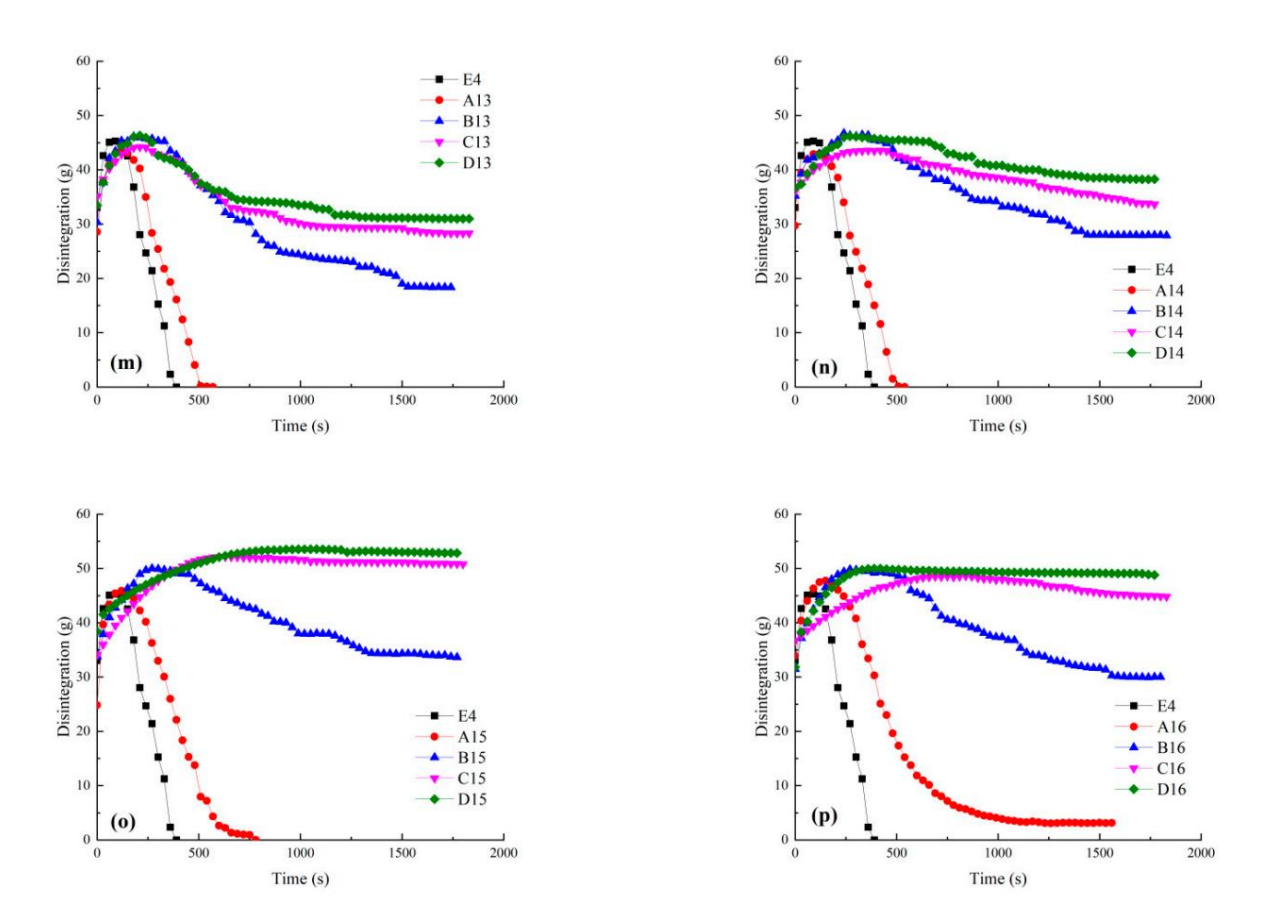


Figura 15. Curva de desintegración con diferentes ciclos de tratamiento: (a) BS 0.25, CS 0.4; (b) BS 0.25, CS 0.8; Figura 15. Curva de desintegración con diferentes ciclos de tratamiento: (a) BS 0.25, CS 0.4; (b) BS 0.25, CS 0.8; Figura 15. Curva de desintegración con diferentes ciclos de tratamiento: (a) BS 0.25, CS 0.4; (b) BS 0.25, CS 0.8; (c) BS 0.25, CS 0.4; (d) BS 0.25, CS 0.4; (d) BS 0.25, CS 0.4; (d) BS 0.25, CS 1.2; (d) BS 0.25, CS 1.2; (h) BS 0.5, CS 0.4; (d) BS 0.5; CS 0.5;

A una determinada concentración de solución bacteriana y concentración de solución de cementación, cuantos más ciclos; mayor será el tiempo de desintegración. La capacidad de resistir la desintegración mejora con el aumento de los ciclos de tratamiento. No hay ninciún cambio significativo en las características de desintegración de la muestra después de un ciclo de tratamiento. La muestra sufre una desintegración de la muestra después de un ciclo de tratamiento. La muestra sufre una desintegración completa. La capacidad de suprimir la desintegración mejora aun mas después de cesintegración completa. Después de tres ciclos de tratamiento, la muestra presenta una desintegración incompleta. La capacidad de suprimir la desintegración mejora aun más después de cinco ciclos de tratamiento. La formación de costras superficiales de microorganismos se vuelve más evidente al aumentar el numero de tratamientos genicordos de microorganismos se vuelve más evidente al aumentar el numero de tratamientos genicordos de suprimir la desintegración. La capacidad de suprimir la desintegración mejora aun más después de cinco ciclos de tratamiento. La formación de Costras superficiales de microorganismos se vuelve más evidente al aumentar el numero de tratamientos genicordos de microorganismos se vuelve más el aumentar el numero de tratamientos genicordos de sentegración. La capacidad de resistir la desintegración desintegración de tratamiento de siete ciclos tiene una mejora menor en comparación con la reapacidad de funcionamiento del tratamiento de siete ciclos tiene una mejora menor en comparación con la tratamiento de cinco ciclos. La razón de esto es que después de un tratamiento de cinco ciclos, la muestra tratamiento pueden completar eficazmente le proceso de refuerzo MICP del suelo residual de granto. Mientras tanto, la estructura del suelo no cambia con la pulverización y se forma una costra dura en la superficie del suelo, lo que dificulta que el liquido signa infiltrándose. Cinco ciclos de tratamiento pueden completar efic

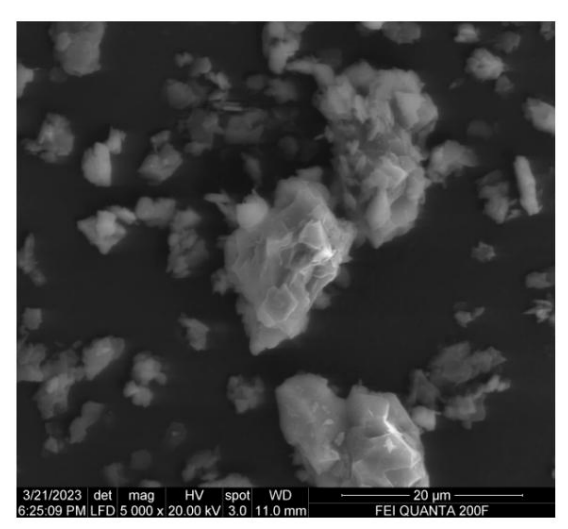
5. Microestructura de muestras de suelo

5. Microestructura de muestras de suelo La tecnología MICP genera carbonato de calcio a través del metabolismo de las bacterias entre particulas sus el publica de la metabolismo de las bacterias entre particulas sus el publicas de la metabolismo de la metabolismo

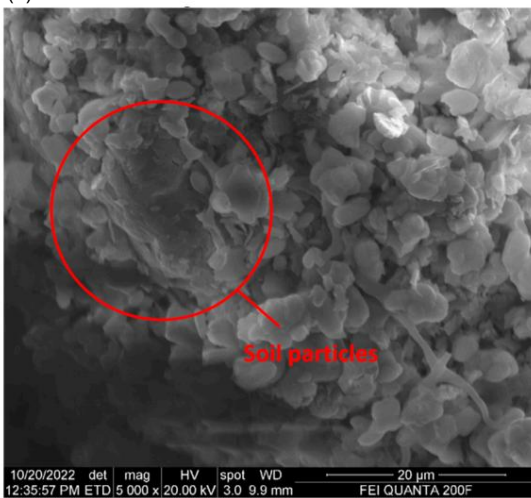
Aplica. Ciencia. 2024, 14, 6343

Se recogieron muestras representativas de la superficie de la muestra. La superficie de la muestra se recubrió con oro y luego se observó utilizando un microscopio electrónico de barrido de emisión de campo.

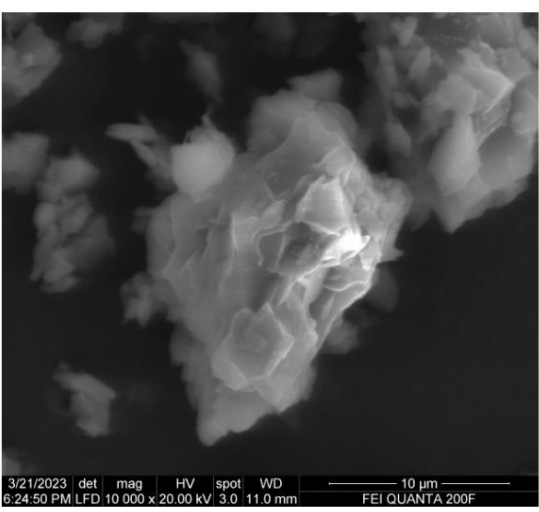
Microscopio free (Quapta 200FEGA) 188070, el producido por FEI Corporation en Hillsboro, (Quanta 200FEG03040702) el Estado de Oregón, EE.UU.



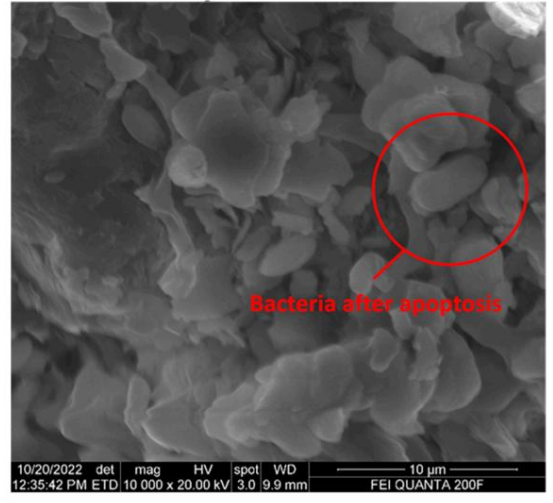
(a) Un aumento de 5000 ×sin tratamiento.



(c) Un aumento de 5000×del tratamiento.



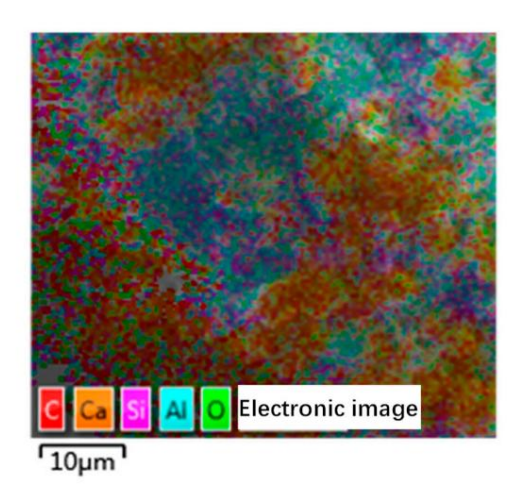
(b) Un aumento de 10.000×sin tratamiento.

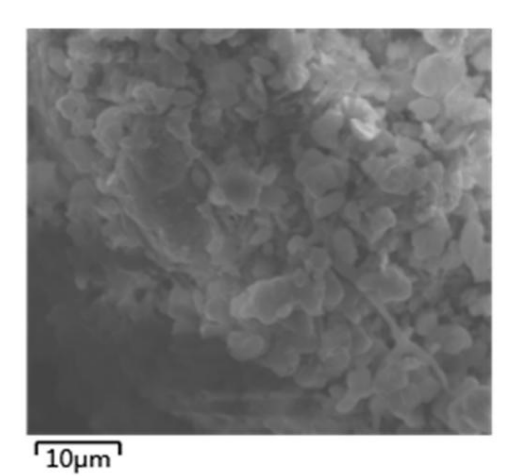


(d) Una ampliación del tratamiento de 10.000×

Figura 16: Imágenes SEM de la muestra con tratamiento y sin tratamiento.

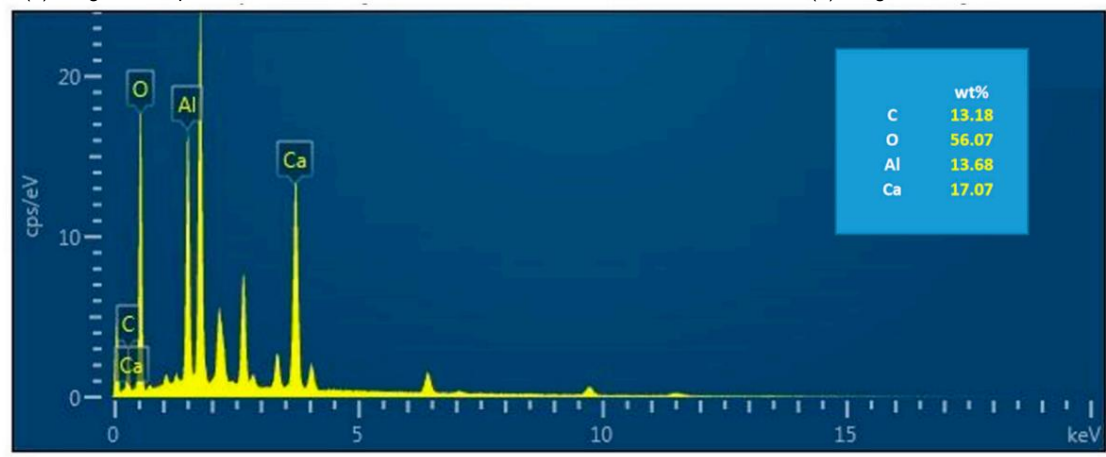
Investigar la composición de las particulas adheridas a la superficie de las muestras de tratamiento. Para Redizio Endo en un altrá ista adélisia defisia de sector da Endo en la Superficie de las muestras de tratamiento. Para Redizio Endo en un altrá ista adélisia defisia de sector da entre en aproxima de la composição de la co





(a) Imagen en capas del elemento EDS.





(c) Diagrama de contenido de elementos.

Figura 17. Diagrama de análisis del espectro energético EDS. Figura 17. Diagrama de análisis del espectro energético EDS.

6. Condusiones

Estedio, extuditiza enutiliza en este de este de en este de entre en este de en en este de en este de en en este de en este de en este de en este de en en este de en en este de en en este de en este de en este de en este de en este de en este de en en este de en en este de en en este de en este de

efectiván heatevantogiat Micercano (Caco3) entre las partículas del suelo. De esta manera, una costra

Se formiaruma uma ampala subjecticio eque per de istissity silignalificanti ambate la designativacióne.

conce (2) ació code da tradició deblactaria ción a bacterian de Qui 75 y plan salución y de camentación (2) La

La concemtración de ción de so óptima per entre estativa procuma de jace concentración. Una concentración insuficiente

La condem carica de retración a describación per entre de calcio per entre de calcio per entre de calcio per entre de calcio per entre de tradicio per entre de provocar la formación prematura de una densa capa sobre capa

la superficie superión de tradicio per entre de provocar la formación prematura de una densa capa sobre capa

la superficie superión de del tradicio per entre de la solución de calcio per entre de calcio per entre de calcio per entre de la solución de carbonato de calcio per entre de la solución de carbonato de calcio. Una concentración excesiva de la solución de cementación inhibe

La acciói inhimativa mental de calcio de camentación inhibe

La acciói inhimativa mental de la solución de cementación inhibe

La acciói inhimativa mental de la solución de cementación inhibe

(3) Depido ada formación de una cappa de los estas enticientes que se los incresidentes de la desintegración. El espesor de le espesor de la desintegración. El espesor de la desintegración de la des

Aplica. Ciencia. 2024, 14, 6343 18 de 19

- La capa generada por uno o tres ciclos de refuerzo no es suficiente para envolver completamente la superficie.
- (4) Se están realizando más investigaciones para investigar la estabilidad mecánica y la capacidad de resistir la erosión causada por fuertes lluvias. También es necesario considerar la durabilidad a largo plazo del suelo residual de granito cementado para lograr una regulación efectiva de la eficiencia de la reacción de mineralización.

Contribuciones de los autores: Conceptualización, XL y WL; escritura: preparación del borrador original, XL; investigación, YF; curación de datos, CL; redacción: revisión y edición, WL Todos los autores han leído y aceptado la versión publicada del manuscrito.

Financiamiento: Esta investigación fue financiada por la Fundación Nacional de Ciencias Naturales de China (Subvención No. 41962015) y la Fundación Natural de la Provincia de Jiangxi (Subvención No. 20161BAB203078).

Declaración de la Junta de Revisión Institucional: No aplicable.

Declaración de Consentimiento Informado: No aplicable.

Declaración de disponibilidad de datos: las contribuciones originales presentadas en el estudio se incluyen en el artículo; más consultas pueden dirigirse al autor correspondiente.

Conflictos de intereses: Los autores declaran no tener conflictos de intereses.

Referencias

- Liu, W.; Canción, X.; Huang, F. Estudio experimental sobre la desintegración de suelos residuales de granito bajo la influencia combinada de ciclos de mojado-secado y lluvia ácida.
 Geomat. Nat. Riesgo de peligros 2019, 10, 1912–1927. [Referencia cruzada]
- Liu, X.; Qiu, J.; Zhang, D. Características de la escorrentía de la pendiente y el contenido de agua del suelo en el coluvión de benggang bajo lluvia simulada.
 J. Sedimentos de suelos 2018, 18, 39–48. [Referencia cruzada]
- 3. Deng, Y.; Shen, X.; Xia, D. Erodibilidad del suelo y propiedades fisicoquímicas de los abanicos aluviales de barrancos que colapsan en el sur de China.

 Pedosfera 2019, 29, 102-113, [Referencia cruzada]
- 4. Tang, Q.; Duan, X.; Él, L. Variabilidad y factores impulsores de la conductividad hidráulica saturada del suelo a lo largo de las direcciones horizontal y vertical en la cuenca superior de Benggang. CATENA 2023, 222, 106810. [CrossRef]
- 5. Xu, J. Benggang erosión: los factores que influyen. CATENA 1996, 27, 249-263.
- 6. Liang, Y.; Zhang, B.; Pan, X. Estado actual y estrategias integrales de control de la erosión del suelo en la región montañosa del sur. Porcelana. Ciencia. Conservación del agua del suelo. 2008, 6, 22-27.
- 7. Wei, Y.; Liu, Z.; Wu, X. ¿Se puede considerar a Benggang como una erosión de barrancos? CATENA 2021, 207, 105648. [CrossRef]
- 8. Liang, Y.; Ning, D.; Pan, X. Características y manejo de la erosión de Benggang en la región del suelo rojo del sur. Conservación del agua del suelo. China 2009, 1, 31–34.
- Liao, Y.; Zheng, M.; Li, D. Relación del número de benggang, el área y los valores integrales hipsométricos en diferentes formas de relieve
 Etapas de desarrollo. Degradación de la tierra. Desarrollo. 2020, 31, 2319–2328. [Referencia cruzada]
- Liu, W.; Ouyang, G.; Luo, X. Contenido de humedad, presión de agua de poro y frente de humectación en suelo residual de granito durante el colapso erosión con ángulo de pendiente variable. Geomorfología 2020, 362, 107210. [CrossRef]
- 11. Liu, W.; Cui, Y.; Ouyang, G. Un estudio experimental sobre la influencia de la composición del tamaño de grano en el colapso de la erosión del granito. suelo residual. CATENA 2023, 223, 106949. [CrossRef]
- 12. Liao, Y.; Changyuan, T.; Zaijian, Y. Progreso de la investigación sobre la erosión de Benggang y sus medidas de prevención en la región del suelo rojo del sur de China. Acta Pedol. Pecado. 2018, 55, 1297–1312.
- 13. Zhu, X.; Liang, Y.; Qu, L. Características de la escorrentía y la producción de sedimentos para dos suelos erosionables típicos en el sur de China. En t. J. Res. de sedimentos. 2022, 37, 653–661. [Referencia cruzada]
- 14. Bullock, A.; King, B. Evaluación del programa de conversión de tierras en pendientes de China como gestión sostenible en los condados de Tianquan y Wuqi. J. Medio Ambiente. Gestionar. 2011, 92, 1916-1922. [Referencia cruzada] 15. van Paassen León, A.; Ghose, R.; van
- der Linden Thomas, JM Cuantificación de la mejora biomediada del suelo mediante ureólisis: experimento de biolechada a gran escala. J. Geotecnología. Geoentorno. Ing. 2010, 136, 1721–1728. [Referencia cruzada]
- 16. Portugal, CRMe; Fonyo, C.; Machado, CC Biocementación por precipitación de calcita inducida microbiológicamente, alternativa verde para las carreteras: ¿es este el gran avance? Una revisión crítica. J. Limpio. Pinchar. 2020, 262, 121372. [Referencia cruzada]
- 17. Phillips, AJ; Gerlach, R.; Lauchnor, E. Aplicaciones de ingeniería de biomineralización ureolítica: una revisión. Bioincrustación 2013, 29, 715–733. [Referencia cruzada]
- 18. Tang, CS; Zhu, C.; Cheng, Q. Agrietamiento por desecación de suelos: una revisión de los enfoques de investigación, los mecanismos subyacentes y factores de influencia. Ciencias de la Tierra. Rev.2021, 216, 103586. [CrossRef]
- 19. Li, S.; Li, C.; Yao, D. Viabilidad de la precipitación de carbonatos inducida microbianamente y las barreras de tablero de paja sobre la desertificación. control y restauración ecológica. Ecológico. Ing. 2020, 152, 105883. [Referencia cruzada]

Aplica. Ciencia. 2024, 14, 6343 19 de 19

- Liu, S.; Wang, R.; Yu, J. Eficacia de la antierosión de un revestimiento MICP en las superficies de tejas de arcilla antiguas. Construcción Construir
 Madre 2020 243 118202 [Referencia cruzadal 21]
- Çanakçi, H.; Sidik, W.; Kiliç, 'IH Efecto de la precipitación bacteriana de carbonato de calcio sobre la compresibilidad y la resistencia al corte del suelo orgánico. Suelos encontrados. 2015, 55, 1211–1221. [Referencia cruzada]
- 22. Cheng, YJ; Tang, CS; Pan, XH Aplicación de precipitación de carbonatos inducida por microbios para el control de la erosión de la superficie con loess. Ing
- Jiang, Nueva Jersey; Tang, CS; Yin, LY Aplicabilidad del método de calcificación microbiana para el control de la erosión superficial de pendientes arenosas. J. Mater Civilización. Inc. 2019. 31. 04019250. [Referencia cruzada]
- 24. Lai, Y.; Yu, J.; Liu, S. Estudio experimental para mejorar las propiedades mecánicas de la arena de relaves de hierro mediante el uso de MICP a bajo pH. Construcción Construir. Madre. 2021, 273, 121729. [Referencia cruzada]
- 25. Meng, H.; Gao, Y.; Él, J. Precipitación de carbonatos inducida microbianamente para el control de la erosión eólica del suelo del desierto: pruebas a escala de campo. Geoderma 2021, 383, 114723. [CrossRef]
- Wang, L.; Ren, Z.; Wang, H. Relaciones microestructura-propiedad en mortero de cemento con tratamiento superficial inducido por microbios. precipitación de carbonatos. Compos. Parte B Ing. 2022, 239, 109986. [Referencia cruzada]
- 27. Cheng, L.; Cord-Ruwisch, R.; Shahin, MA Cementación de suelos arenosos mediante precipitación de calcita inducida microbianamente en varios grados de saturación. Poder. Geotecnología. J. 2013, 50, 81–90. [Referencia cruzada]
- 28. Zhao, Q.; Pequeño.; Li, C. Factores que afectan la mejora de las propiedades de ingeniería del suelo tratado con MICP catalizadas por bacterias y ureasa. J. Mater. Civilización. Ing. 2014, 26, 04014094. [Referencia cruzada]
- 29. Tang, CS; Yin, LY; Jiang, Nueva Jersey Factores que afectan el rendimiento del suelo tratado con precipitación de carbonatos inducida por microbios (MICP): una revisión. Reinar. Ciencia de la Tierra. 2020, 79, 94. [Referencia cruzada]
- Choi, SG; Chang, I.; Lee, M. Revisión sobre las propiedades de ingeniería geotécnica de arenas tratadas con calcio inducido microbianamente precipitación de carbonatos (MICP) y biopolímeros. Construcción Construir. Madre. 2020. 246. 118415. [Referencia cruzada]
- 31. Fajardo, M.; McBratney, AB; Field, DJ Evaluación del apagado del suelo mediante reconocimiento de imágenes. Labranza del suelo Res. 2016, 163, 119-129.
- 32. Ze, Z.; Vadim, P.; Svetlana, N. Características de desintegración de una marga arcillosa criolitogénica con diferente contenido de agua: Moscú marga de cobertura (prQIII), estudio de caso. Ing. Geol. 2019, 258, 105159. [Referencia cruzada]
- 33. Kasmerchak, CS; Mason, JA; Liang, M. Análisis de difracción láser de estabilidad y desintegración de agregados en bosques y pastizales. suelos del norte de Minnesota, EE.UU. Geoderma 2019, 338, 430–444. [Referencia cruzada]
- 34. Liu, X.; Zhang, X.; Kong, L. Desintegración de suelos residuales de granito con distintos grados de meteorización. Ing. Geol. 2022, 305, 106723. [Referencia cruzada]
- 35. Sol, Y.; Liu, Q.; Xu, HS Influencias de diferentes modificadores en la desintegración del suelo residual de granito mejorado en condiciones húmedas y ciclos secos. En t. J. Min. Ciencia. Tecnología. 2022. 32. 831–845. [Referencia cruzada]
- 36. Zhang, S.; Tang, HM Estudio experimental del mecanismo de desintegración de suelos residuales de granito insaturado. Mec. de suelo rocoso. 2013, 34, 1668–1674.
- 37. Meyer, F.; Bang, S.; Min, S.; Stetler, L.; Bang, S. Estabilización del suelo inducida microbiológicamente: aplicación de Sporosarcina pasteuri para el control del polvo fugitivo. En Geo-Frontiers 2011: Avances en Ingeniería Geotécnica; Sociedad Estadounidense de Ingenieros Civiles: Reston, VA, EE. UU., 2011; págs. 4002–4011.
- 38. Wang, R.; Tang, CS; Pan, X.; Shen, Z.; Liu, Y.; Lu, X. Un enfoque biotecnológico para la eliminación de sólidos suspendidos en lodos de biogás mediante precipitación de calcita inducida microbianamente (MICP). J. Limpio. Pinchar. 2024, 459, 142537. [Referencia cruzada]
- 39. Katebi, H.; Fahmi, A.; Ouría, A.; Babaeian Amini, A.; Kafil, HS Tratamiento superficial microbiano de arena con Sporosarcina pasteuri para

Mejorar la resistencia a la erosión eólica en el lago Urmia. Aplica. Reinar. Ciencia del suelo. 2021, 8893115. [Referencia cruzada]

40. Bruce Donald, A. Glosario de terminología de inyección. J. Geotecnología. Geoentorno. Ing. 2005, 131, 1534-1542. [Referencia cruzada]

Descargo de responsabilidad/Nota del editor: Las declaraciones, opiniones y datos contenidos en todas las publicaciones son únicamente de los autores y contribuyentes individuales y no de MDPI ni de los editores. MDPI y/o los editores renuncian a toda responsabilidad por cualquier daño a personas o propiedad que resulte de cualquier idea, método, instrucción o producto mencionado en el contenido.